

**Magnetotelurska istraživanja, jul 2018,  
misija: Mesečeva ekspedicija, "Piramida Sunca", Visoko, BiH,  
(Delimičan, najinteresantniji nalazi<sup>1</sup>)**

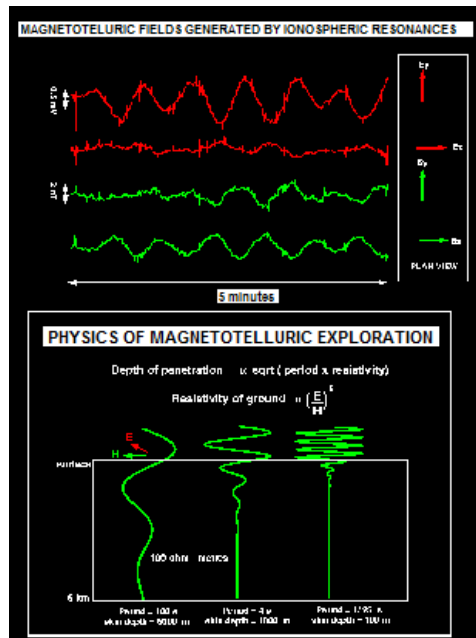
**Merna oprema:**

1. Teslametar TM 40 [ $H_{50Hz}$ , nT]
2. Trifield metar, 100XE [ $H$ , mG;  $E$ , V/m]
3. Digitalni multimetar Mastech MS8229 [ $T$ , °C; **Hum**, %; **Noi**, dBrel]
4. VF-Širokopojasni pojačavač, spec.konstr. mala težna, AskaAudio Beograd, "**E**"- sonda: štap antena,  $l = 30$  cm; "**H**"- sonda: otvorena zavojnica; "**EM**" – sonda: zatvorena zavojnica; "**Z**"-zvučni senzor: "Knowles" Piezo Ceramic ST Microphone (BL series)
5. PC osciloskop OWON, VDS1022
6. Notebook MSI, Quad Core, Win 8.1
7. S-metar, Bedini verzija Dea/Faretto detectora, IB Mraz, [ $S_c$ , Ampl., % otklona]
8. Experimentalni merač životne energije, Heliognosis model LM3, [ $O_r$ , Opseg, Fino, Grubo, % otklon]

**Napomena 1:** EM spektri lagano variraju, signali su blago promenjive amplitude i frekvencije. Signali koji potiču od merne opreme i uredaja korišćenih tokom merenja su registrovani pre merenja na radnim tačkama. VRMS vrednosti registrovane opremom 5 i 6 treba smatrati relativnim obzirom da je tokom merenja korištena oprema 4. U slučaju potrebe registrovane vrednosti mogu se izraziti i kao absolutne.

**Merna Metoda:**

Magneto Telurska (MT) i Audio Magneto Telurska (AMT) metoda [1] kombinovana sa merenjima nekonvencionalnih energetskih fenomena [Mer. Opr. 7,8].



MT metodama snimaju se električna i magnetna polja u opsegu niskih i veoma niskih frekvencija (Infra zvuk- Audio-Ultra zvuk). Izvori MT i AMT signala mogu biti umjetni ili prirodni.

Solarna energija (Sunčev veter) i munje (grom) izazivaju prirodne varijacije u zemljinom magnetnom polju, koje izazivaju električne struje (poznate kao telurske struje) ispod zemljine površine. Telurske (zemaljske) struje nastaju iz prirodnih i veštačkih izvora, uključujući i kretanje magme u zemljinoj unutrašnjosti i delovanje električne mreže i električnih uređaja. U kombinaciji, ove pojave stvaraju jak AMT/MT izvor signala u ULF / LF frekventnom spektru.

Magnetna polja u frekventnom opsegu od 1 Hz do približno 20 kHz su deo AMT opsega. Ovaj frekventni opseg omogućuje penetraciju do dubine od nekoliko metara do nekoliko kilometara ispod zemljine površine. Zbog prirode Magneto Telurskih izvora, talasi obično variraju u veličini amplitude. Zbog toga i niskog intenziteta signala potrebno je duže vreme snimanja da bi se dobili upotrebljivi podaci.

<sup>1</sup> Kompletna merenja se čuvaju u bazi podataka G.Marjanovic.

Merenja sa različitih lokacija, iz više smerova, mogu jasno ukazati na različit odnos električnog magnetnog polja i njihovih međusobnih faza. Fazni pomeraj uzrokovani različitim brzinama propagacije, ukazuju na podzemne oblasti različite mehaničke, magnetne i električne provodljivosti, odnosno njenu anizotropiju i zapravo njenu strukturu!

Merenje u slobodnom prostoru omogućuje uvid u zapreminsку strukturu polja koja je posebno interesantna za lokacije na kojima su prethodno detektovani energetski fenomeni na tlu.

## **Merne veličine:**

Tokom naših istraživanja vrše se snimanja elektromagnetskih i mehaničkih energetskih spektara u širokom frekventnom opsegu od ekstremno niskih do srednjih frekvencija (25 mHz - 50 kHz) za električne i / ili magnetne fenomene. Merenje mehaničkih vibracija obuhvata oblast od infrazvuka, audio i ultrazvučnog domena. Za ova merenja koristili smo konvencionalne uređaje navedene pod brojem 1. do 6. na listi merne opreme. Pored ovih merenja vršena je i detekcija prisutnosti skalarnog polja "S-metrom" (MerOpr. 7).

Istraživanja nekonvencionalnih energetskih polja, kao što je to npr. "Orgonska energija", vršena su posebnim uređajem za merenje alternativnih energetskih fenomena (MerOpr. 8) koji je namijenjen za naučna istraživanja životnih procesa.

Osim toga, na svakoj mernoj lokaciji mereni su kontrolni parametri: a) prisutnost i intenzitet "EM smoga" uzrokovanih elektro-energetskom mrežom (50 Hz); snaga dinamičkih magnetnih (b), dinamičkih električnih (c) polja i snage radio talasa (d); temperatura (e), vlažnost (F) i nivo buke (G).

Kompletna dokumentacija sa svim snimcima merenja se čuva u mojoj bazi podataka, a u ovom radu predstavljeni su samo najzanimljiviji nalazi kao ilustracija donetih zaključaka.

## **Merenja:**

**Merenje1, Lokacija 1:**      **"Piramida Sunca", 27.07.2018, 17.04 h.**

**Izmerene vrednosti:**

$H_{50Hz} = 5 \text{ nT}$ ,  $H = 0.7 \text{ mG}$ ,  $E = 10 \text{ V/m}$ ,  $T = 22^\circ\text{C}$ ,  $\text{Hum} = 55\%$ ,  $\text{Noi} = -15 \text{ dBrel}$ ,  $S_c = 10,100$ ;  $O_r = 100,3,8,1,100+$

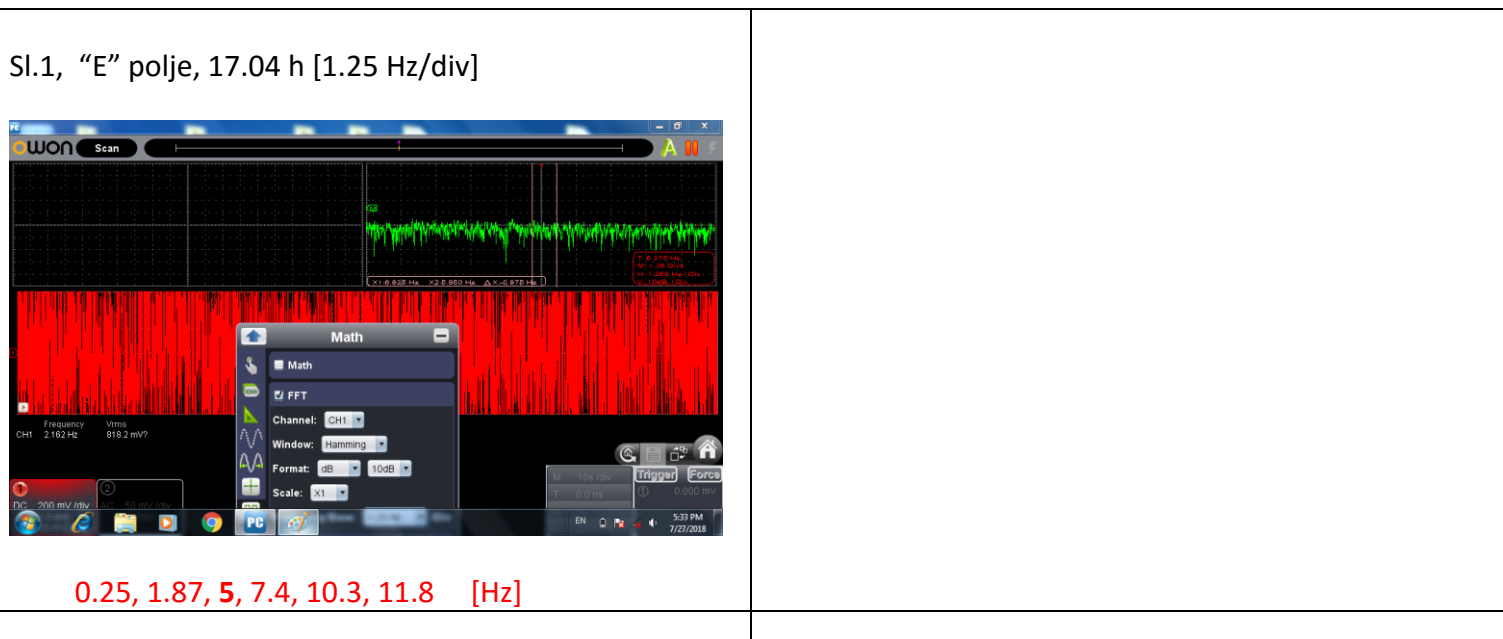
**Merenje 2, Lokacija 1:**      **"Piramida Sunca", 27.07.2018, 21.15 h (Mesečeva eklipsa).**

**Izmerene vrednosti:**

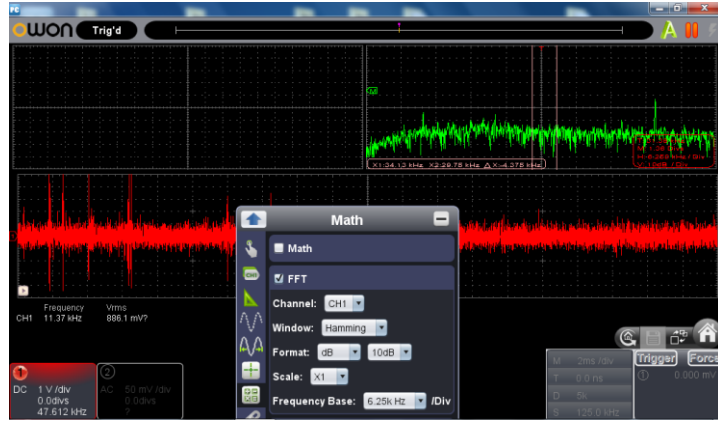
$H_{50Hz} = 4 \text{ nT}$ ,  $H = 0.6 \text{ mG}$ ,  $E = 20 \text{ V/m}$ ,  $T = 16^\circ\text{C}$ ,  $\text{Hum} = 60\%$ ,  $\text{Noi} = 0 \text{ dBrel}$ ,  $S_c = 0,100$ ;  $O_r = 100,3,8,1,100+$

**Napomena 1:** Na lokaciji je prisutno desetak ljudi. Tokom merenja zamoljeni su za tišinu. Tokom drugog merenja na lokaciji se čula muzika ( $\text{Noi} = 0 \text{ dBrel}$ ) iz grada Visoko.

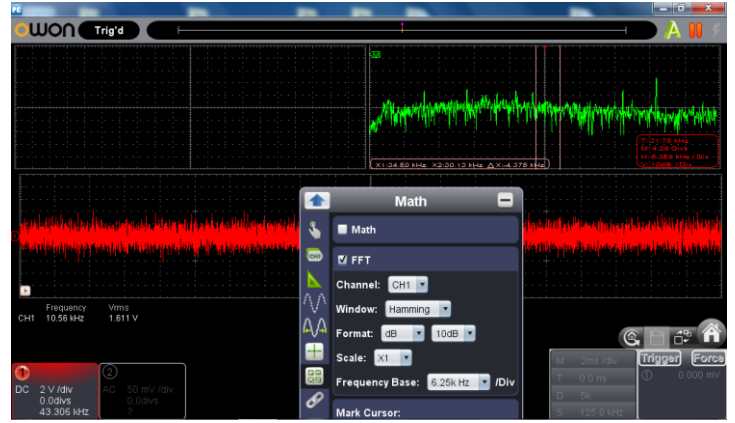
## **Karakteristični spektri:**



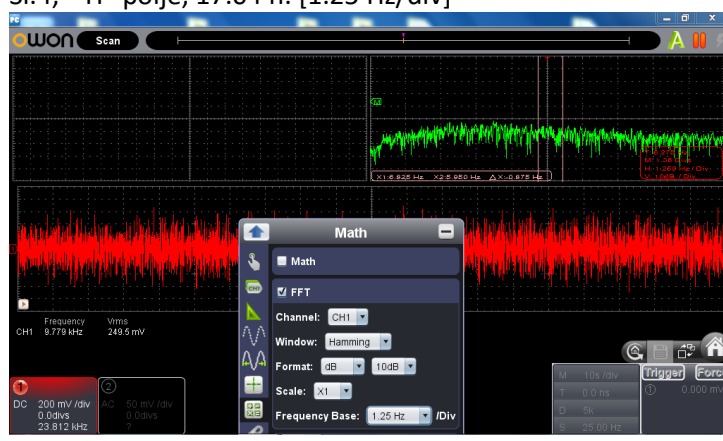
SI.2, "E" polje, 17.04 h. [6.25 kHz/div]



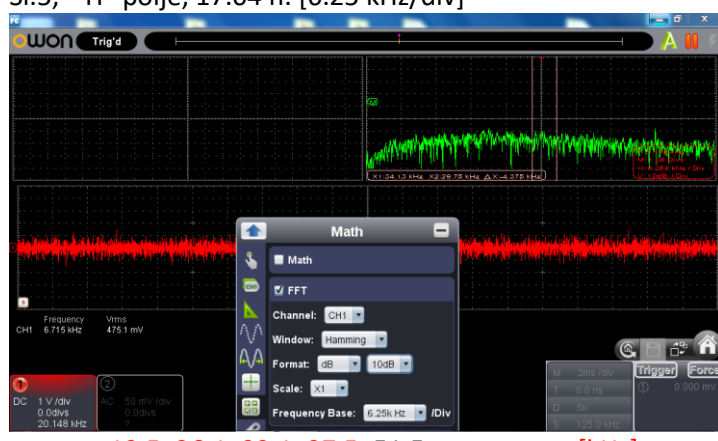
SI.3, "E" polje, 21.15 h. [6.25 kHz/div]



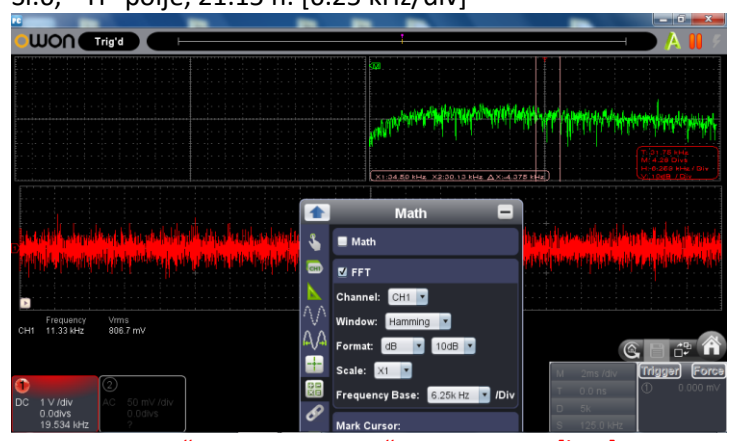
SI.4, "H" polje, 17.04 h. [1.25 Hz/div]



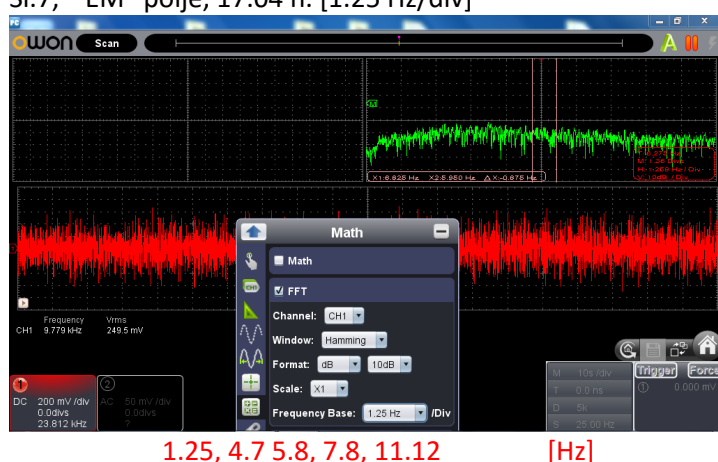
SI.5, "H" polje, 17.04 h. [6.25 kHz/div]



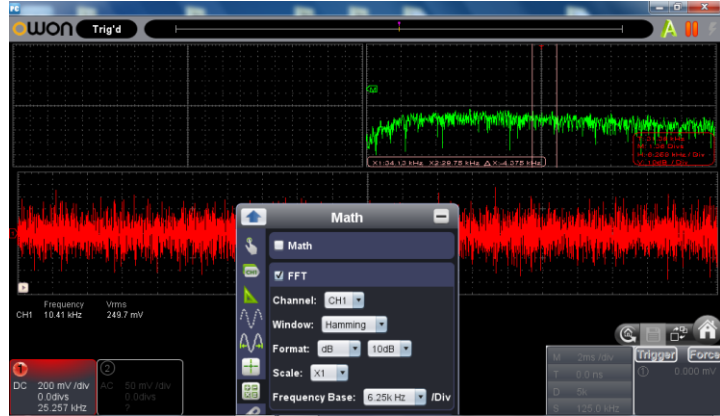
SI.6, "H" polje, 21.15 h. [6.25 kHz/div]



SI.7, "EM" polje, 17.04 h. [1.25 Hz/div]

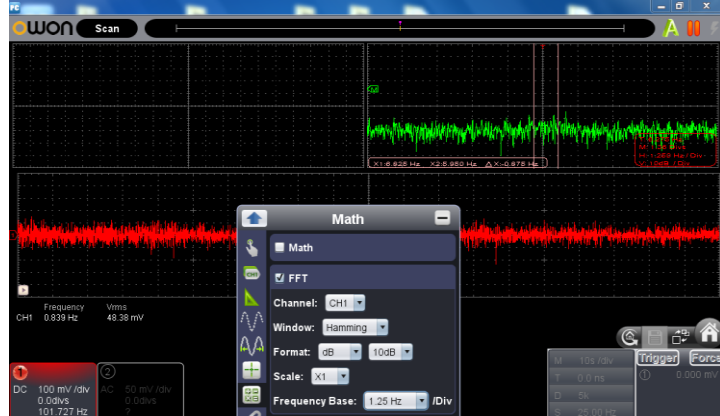


SI.8, "EM" polje, 17.04 h. [6.25 kHz/div]



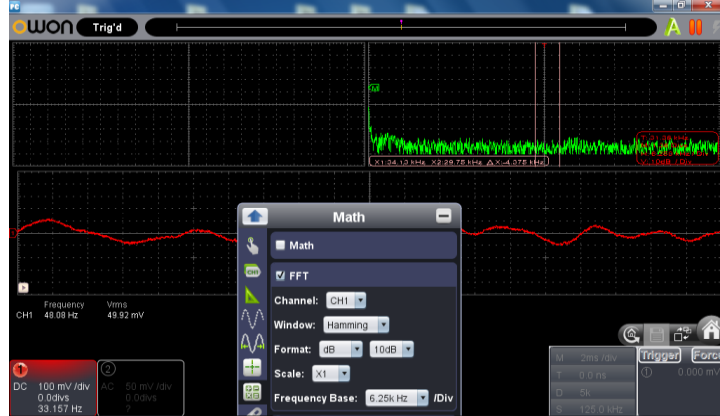
1.8, 7.3, 13.7, 41.2, 48.8, 51.3 [kHz]

SI.10, "IZ", 17.04 h. [1.25 Hz/div]



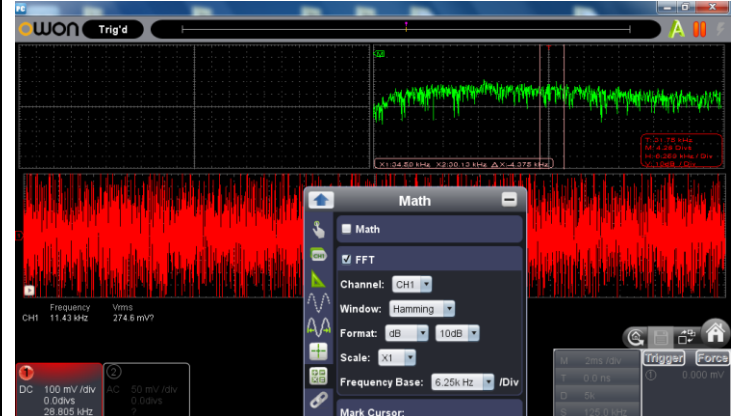
1.7, 4.7, 6, 6.7, 7.8, 10.2 [Hz]

SI.12, "Z,UZ", 17.04 h. [6.25 kHz/div]



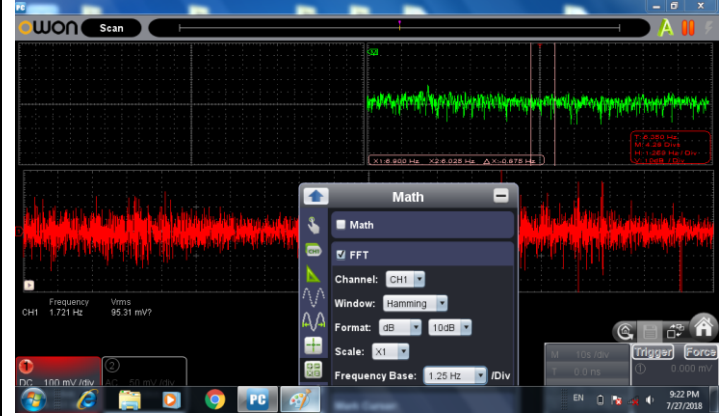
3.7, 35 [kHz]

SI.9, "EM" polje, 21.15 h. [6.25 kHz/div]



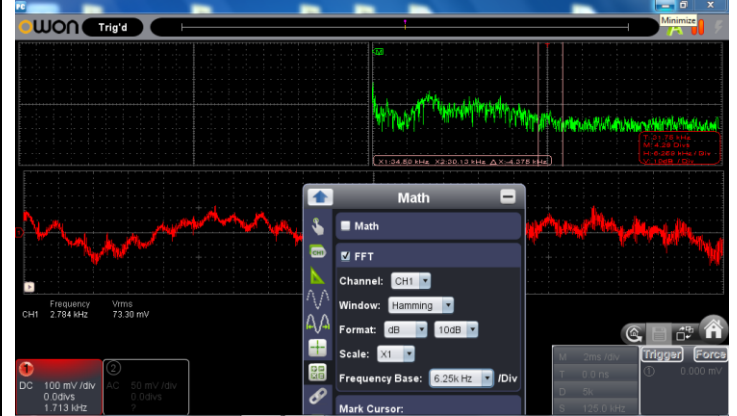
-- [kHz] // 806mV/475mV=1.7 //

SI.11, "IZ", 21.15 h. [1.25 Hz/div]



2.8 - 5 [Hz] // 93mV/48mV=1.93 //

SI.13, "Z,UZ", 21.15 h. [6.25 kHz/div]



7.5-23.7 [kHz], pik: 10 kHz // 73mV/49mV=1.5 //

### Analiza izvršenih merenja:

Na snimcima merenja, crvenom bojom su prikazani amplitudni a zelenom frekventni spektri u VLF/LF opsegu [6.25 kHz/div]: od 500 Hz do 60 kHz ili ULF opsegu [1.25Hz/div]: 0.1 Hz do 12 Hz.

Na slici 1 je prikazan snimak merenja Električnog polja na Piramidi Sunca u ULF opsegu oko 4 sata pre početka totalnog pomračenja Meseca. Sa slike je Vidljivo prisustvo uobičajenih signala iz domena Šumanovog spektra.

Slika 2 prikazuje spekter električnog polja u VLF/LF opsegu, pre pomračenja, na kojem se vidi prisustvo signala uočenih i prilikom prethodnih merenja (vidi [2] npr.).

Slika 3 je snimak spektra električnog polja u VLF/LF opsegu tokom pomračenja, na kojem se vidi prisustvo daleko većeg broja „E“ signala i gotovo dvostruko „jače“ „E“ polje (886 mV / 1.6V = 1.8) sa izraženijim signalom 28.8 kHz. Tome u prilog govori i merenje opremom [2] koje pokazuju da je dinamičko električno polje bilo dvostruko jače za vreme pomračenja meseca („E“ = 10 V/m pre i 20 V/m za vreme pomračenja). Signal 51.2 kHz potiče od opreme.

Na slici 4 je prikazan snimak spektra magnetnog polja u ULF opsegu, veoma sličan snimku spektra električnog polja (sl.1), što takođe odgovara opsegu Šumanovog spektra. Činjenica da se signali istog frekventnog opsega javljaju i kao električne („E“) i kao magnetne („H“) komponente ukazuje na njihovu „Hercijansku“ formu, tj. konvencionalnu elektromagnetnu prirodu.

Slike 5 i 6 prikazuju snimak „H“ signala u VLF/LF domenu pre i za vreme pomračenja. Spektri su slični osim u delu frekventnog opsega za koji je Piramida Sunca „rezonantna“, što potvrđuje njene osobine „energetske mašine“ i što je ilustrovano pojmom harmonika 31.5 kHz i 35.6 kHz kojih u „E“ formi nema!

Slika 7 prikazuje spektar elektromagnetskih signala („EM“) u ULF opsegu koji po vrednostima i formi odgovara Šumanovom spektru.

Slika 8 i 9 su snimci „EM“ spektra u VLF/LF opsegu pre i posle pomračenja. Spektri su gotovo identični što znači da u toj, konvencionalnoj, energetskoj formi nije došlo ni do kakve promene. Ipak, „strukturalni mehanizam“ Piramide Sunca kao energetske mašine ili „rezonatora“ i ovde ukazuje na promenu „jačine“ energetskih tokova koja je tokom pomračenja povećana za (806mV/475mV=1.7) oko 1.7 puta.

Slike 10 i 11 su snimci mehaničkih vibracija u domenu infravuka (0.1 Hz do 12 Hz) i pokazuju takođe povećanu aktivnost tokom pomračenja Meseca (09.15 h), u opsegu 2,8 – 5 Hz, kao i povećan srednji nivo signala za oko 2 puta (93mV/48mV=1.93).

Slike 12 i 13 su snimci mehaničkih vibracija u domenu zvuka i ultrazvuka (500 Hz do 60 kHz), pre i tokom pomračenja Meseca. Jasno se vidi sasvim drugačiji oblik signala i struktura frekventnog spektra tokom pomračenja. Posebno je naglašeno prisustvo signala u „čujnom opsegu“ pa je vrlo verovatno da oni potiču iz grada Visoko gde je u večernjim satima organizovan „vašar“ tako da se čak i na vrhu Piramide Sunca mogla čuti muzika, tih ali primetno (Noi = - 15 dBrel pre pomračenja, Noi = 0 dBrel posle pomračenja). Stoga, ova merenja, kao ni merenja prikazana na snimcima 10 i 11, ne možemo smatrati relevantnim za uticaj kosmičko-astronomskih mehanizama.

### Zaključak:

Merenja tokom mesečeve ekklipse pre početka pomračenja Meseca izvršena 27.07.2018. godine u 17.04 h i tokom pomračenja u 21.15 h, nedvosmisleno ukazuju na uticaj Piramide Sunca, verovatno i kompletne „postavke“ APBPS, na prostorne energetske tokove i vezu sa kosmičko-astronomskim mehanizmima.

Različitosti rezultata merenja pre i posle pomračenja Meseca, ali i u odnosu na ranije vršena merenja na istoj lokaciji (npr.[2]) tokom različitih perioda dana, sigurno je doprinelo to što se Mars u vreme merenja nalazio na najmanjem rastojanju od Zemlje od 2003. godine, zbog čega je delovao veći i svetlij nego inače i nalazio se u približno istoj liniji Sunce-Zemlja-Mesec, zbog čega se mogao videti i golim okom nešto niže, desno od pozicije Meseca.

Ova „Prostorno-vremenska ekskluzivnost“ – blizina Marsa i „poravnanje“ Sunca, Zemlje, Meseca i Marsa sigurno je imalo uticaja na suptino-energetske kosmičke tokove što je i verifikovano našim merenjima i iskazano pojačanim nivoom signala i bogatijom strukturu odgovarajućih frekventnih spektara.

Minorna kvalitativna promena u domenu konvencionalnih elektromagnetskih talasa i mnogo uočljivija promena u oblasti longitudinalnih (skalarnih) elektrodinamičkih vibracija ukazuje na znatno veću INTERAKTIVNOST „Piramide Sunca“ sa suptilno energetskim formama nego sa konvencionalnim EM energetskim fenomenima, a time i na punu opravdanost ideje o tome da su objekti APBPS, posebno Piramida Sunca, energetski „isprepleteni“ sa materijalnom strukturom svog oruženja, Sunčevim sistemom, galaksijom itd, što znatno osnažuje koncept postojanja „Kosmičkog interneta“ [3], i mogućnost gotovo trenutne intergalaktičke komunikacije u Univerzumu ...

Beograd, 30.07.2018.

Goran Marjanovic, dipl.ing

### Reference:

- [1] GEOLOGICAL SURVEY..., Herbert A. Pierce and Donald B. Hoover, [pubs.usgs.gov/of/1988/0668/report.pdf](http://pubs.usgs.gov/of/1988/0668/report.pdf)
- [2] SKALARNI TALASI NA BOSANSKIM PIRAMIDAMA!  
<http://piramidasunca.ba/bs/blogovi-3/goran-marjanovic-blog/item/11674-skalarni-talasi-na-bosanskim-piramidama.html>
- [3] OTKRIĆE TESLINIH TORZIONIH POLJA NA BOSANSKIM PIRAMIDAMA  
<http://piramidasunca.ba/bs/blogovi-3/semir-osmanagic-blog-x/item/11411-otkri%C4%87e-teslinih-torzionih-polja-na-bosanskim-piramidama-1.html>